

F I G. 1

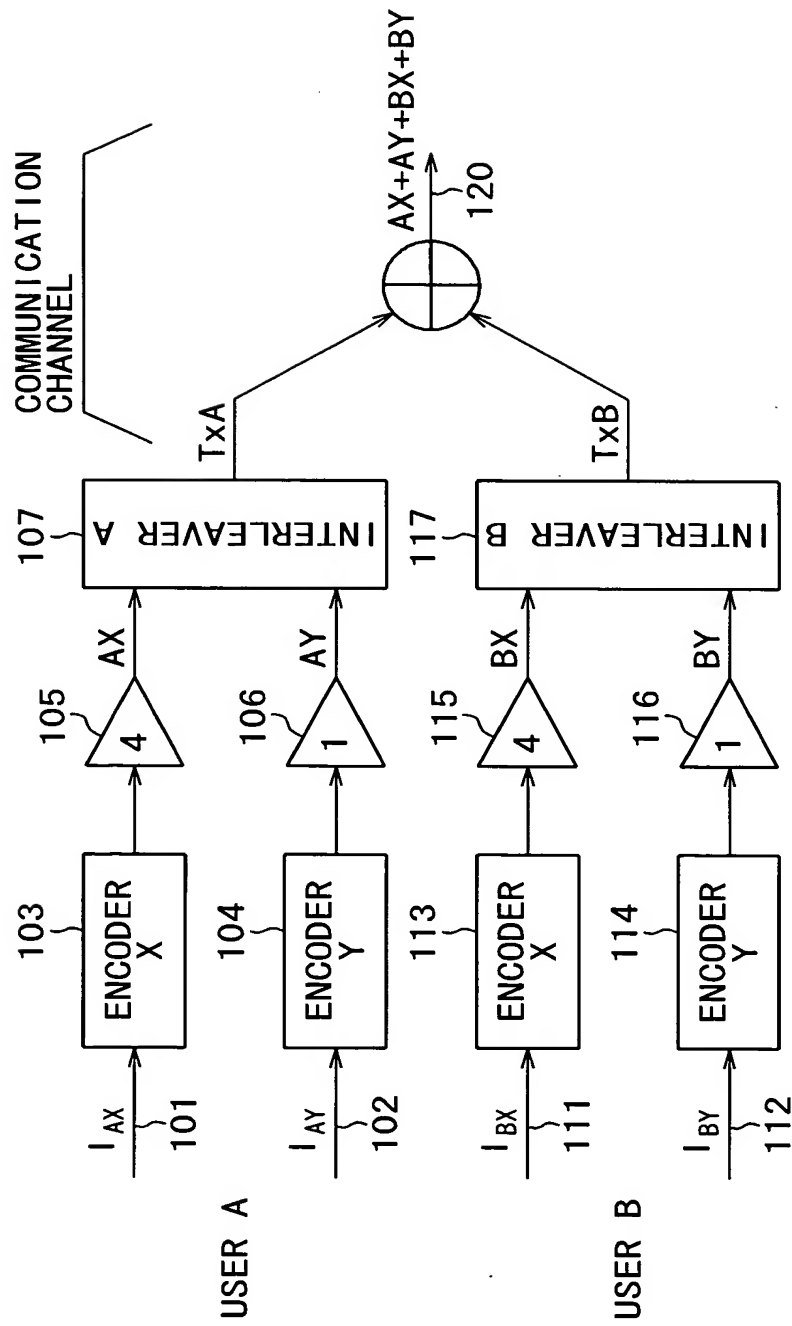
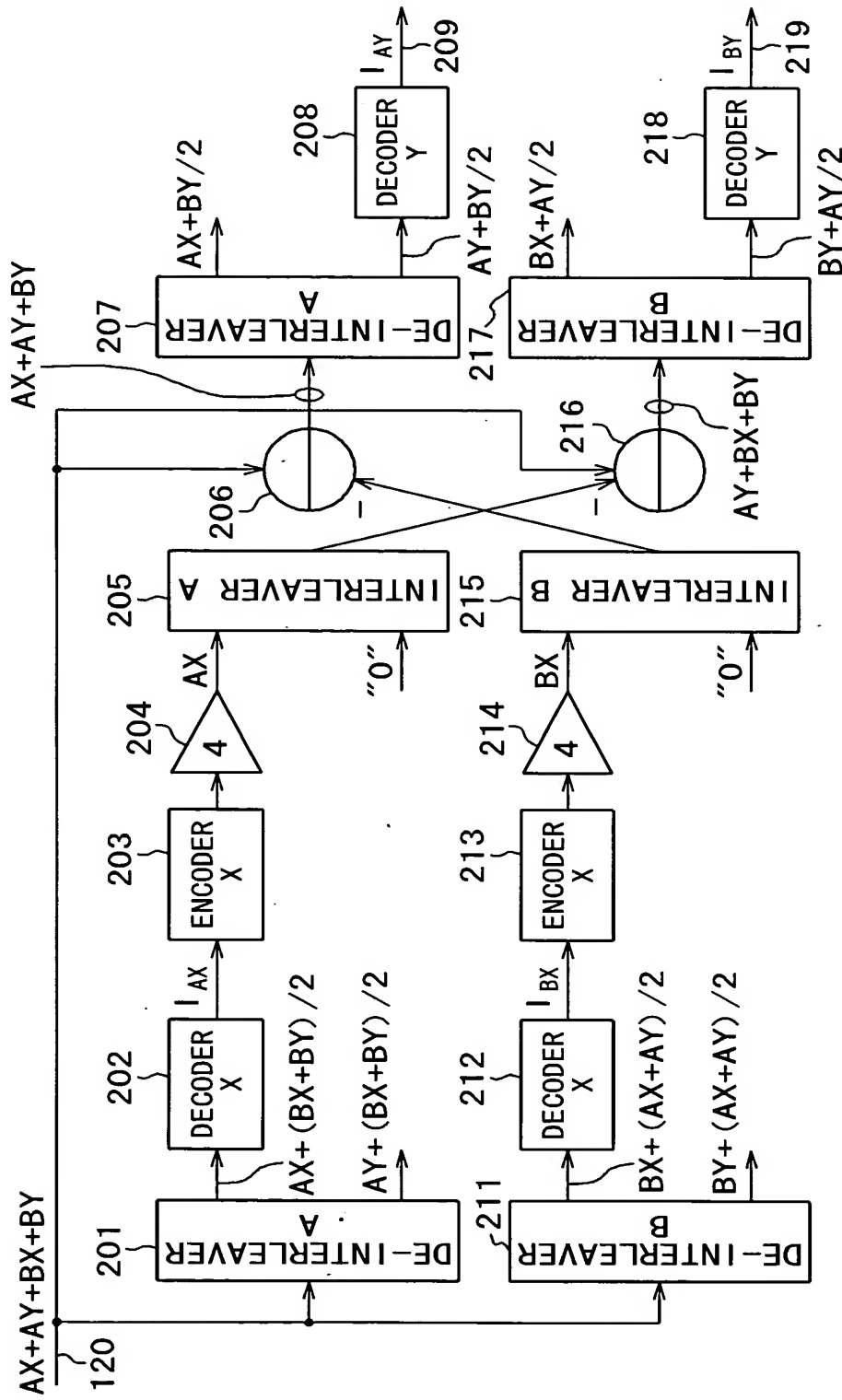


FIG. 2



F I G. 3

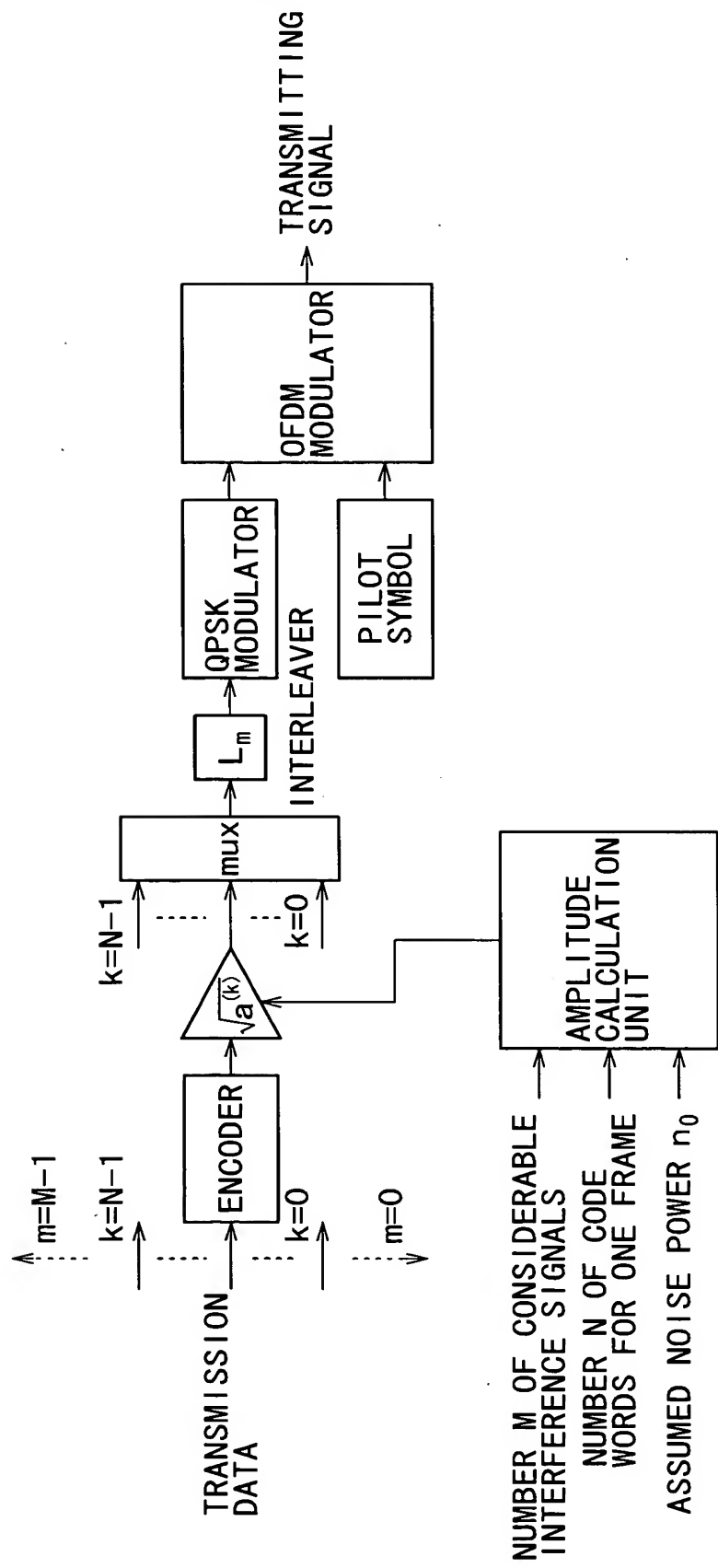
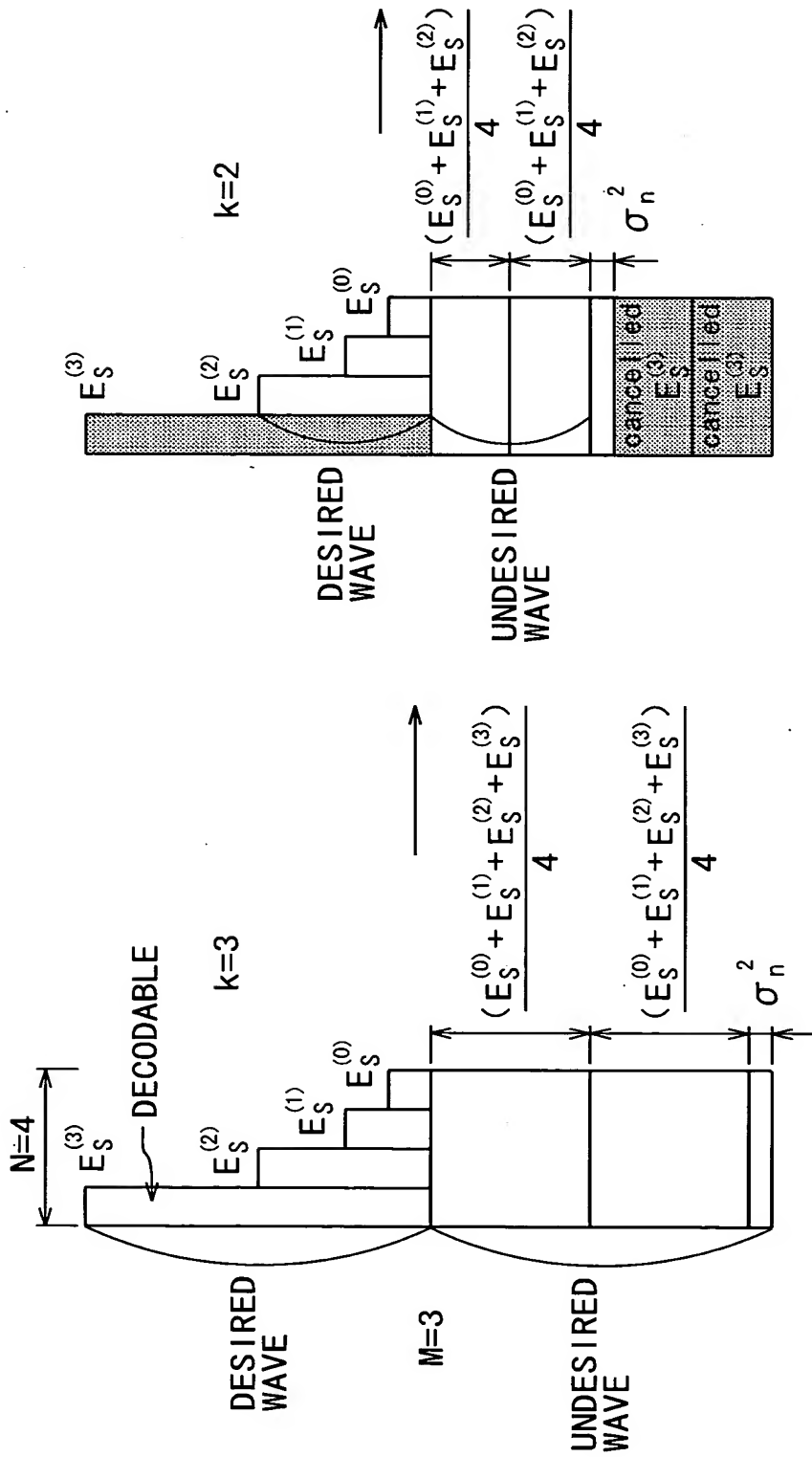
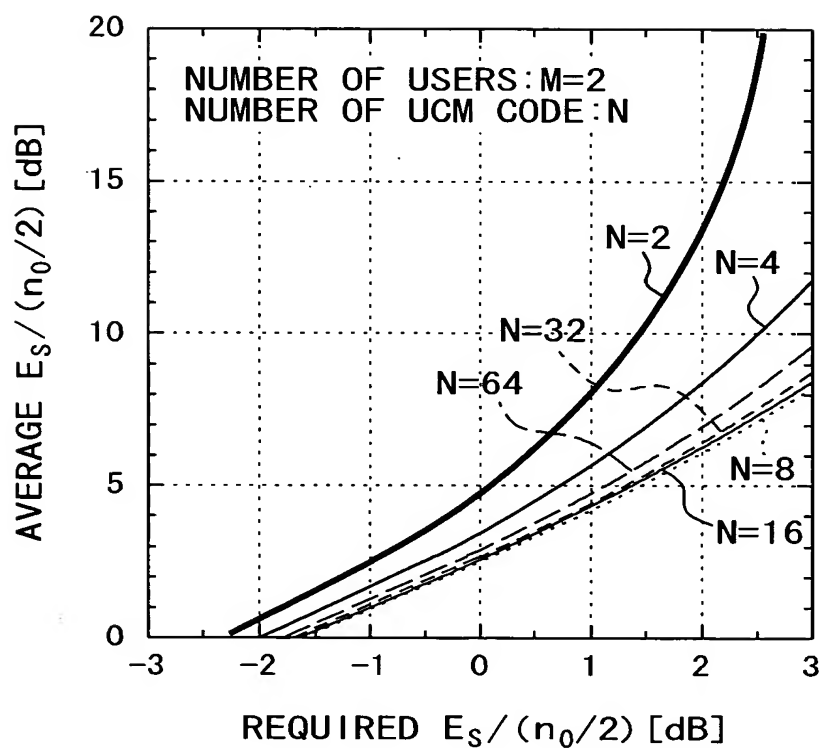


FIG. 4

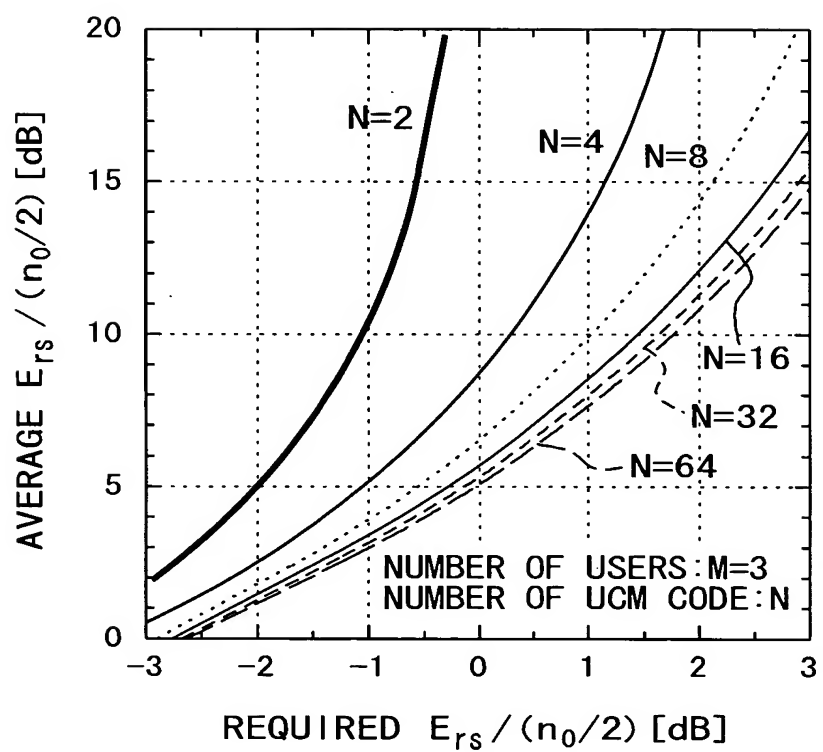


OBLON, SPIVAK, ET AL
DOCKET #: 245734US6
INV: Chihiro FUJITA, et al.
SHEET 4 OF 19

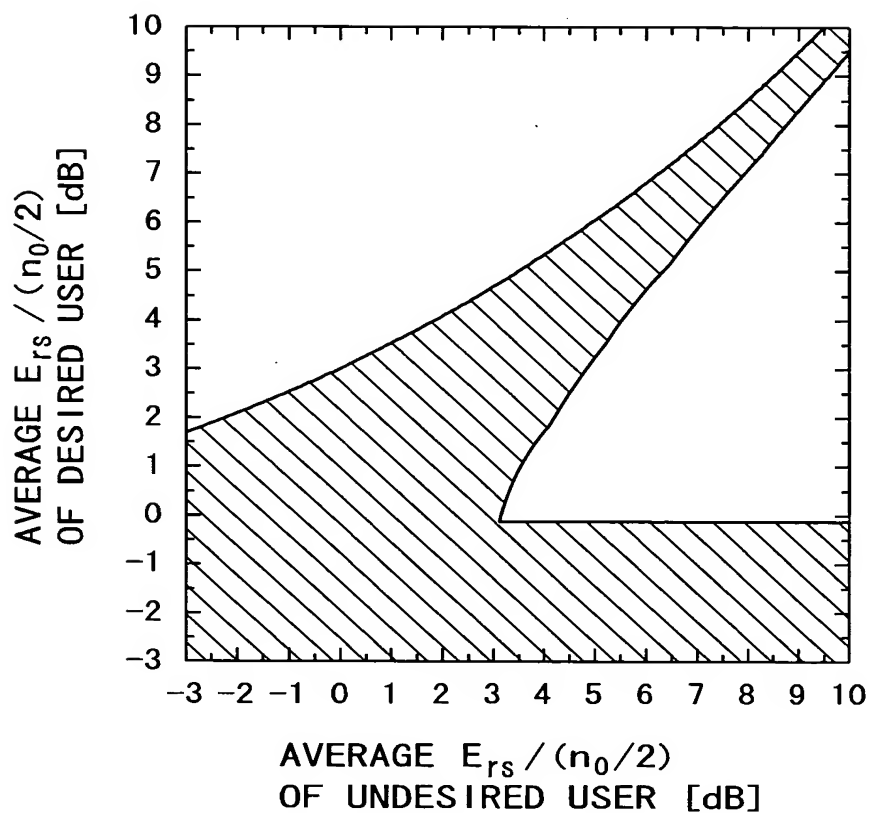
F I G. 5



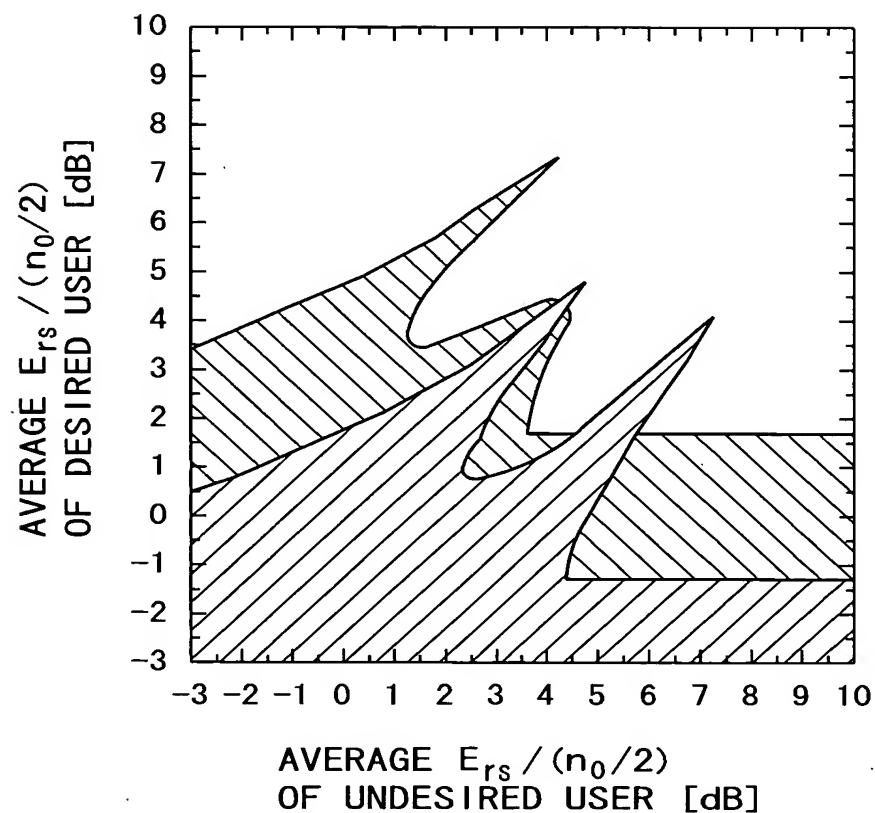
F I G. 6



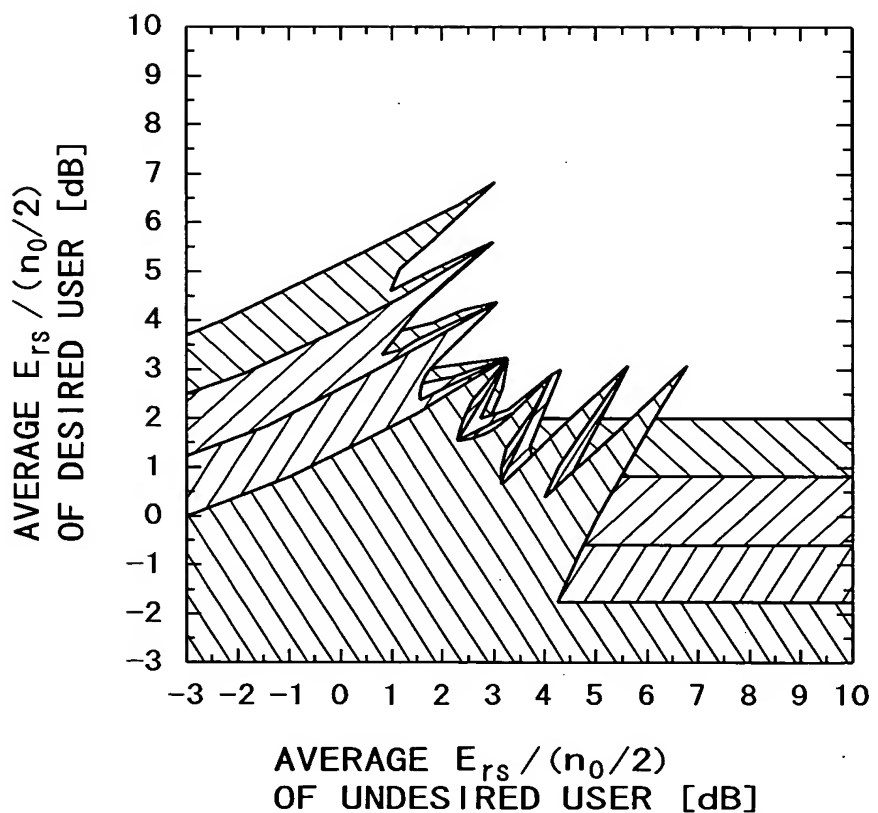
F I G. 7



F I G. 8



F I G. 9



F I G. 10

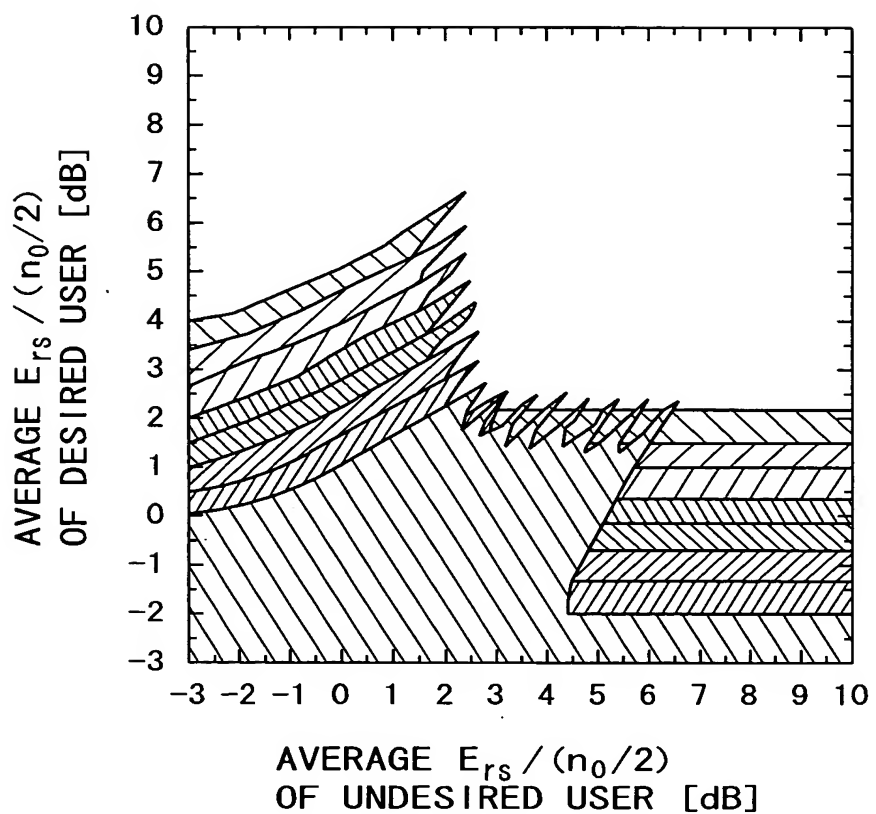


FIG. 11

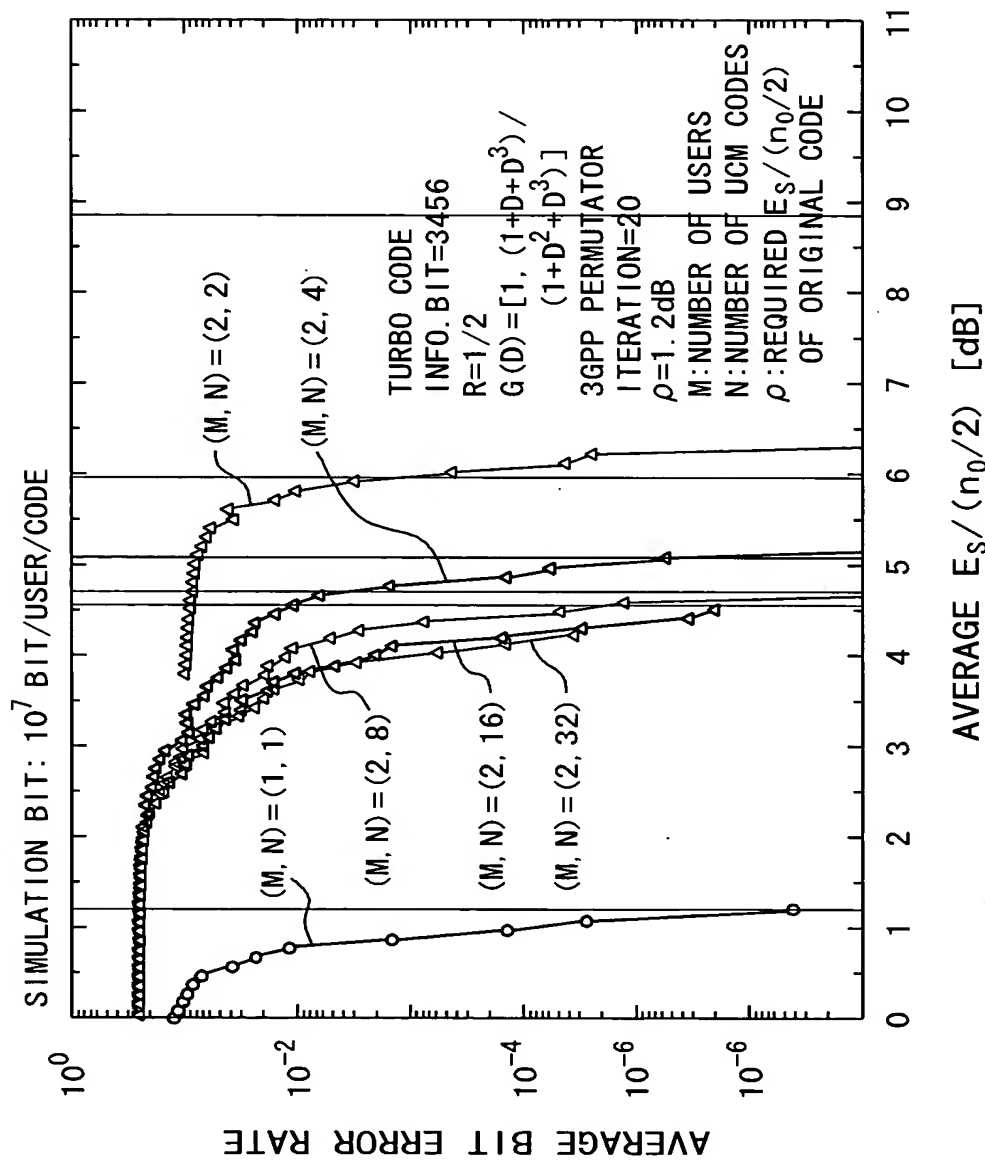


FIG. 12

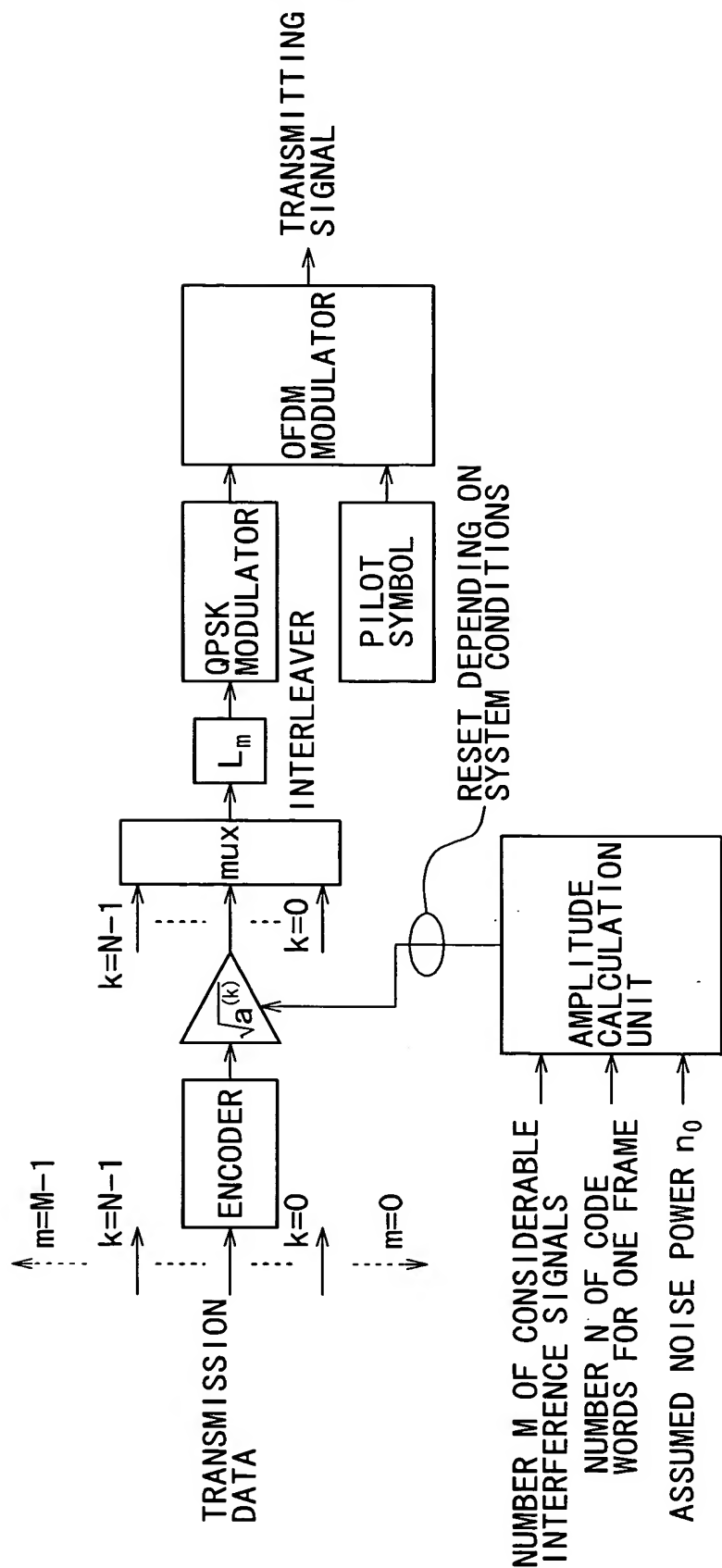


FIG. 13

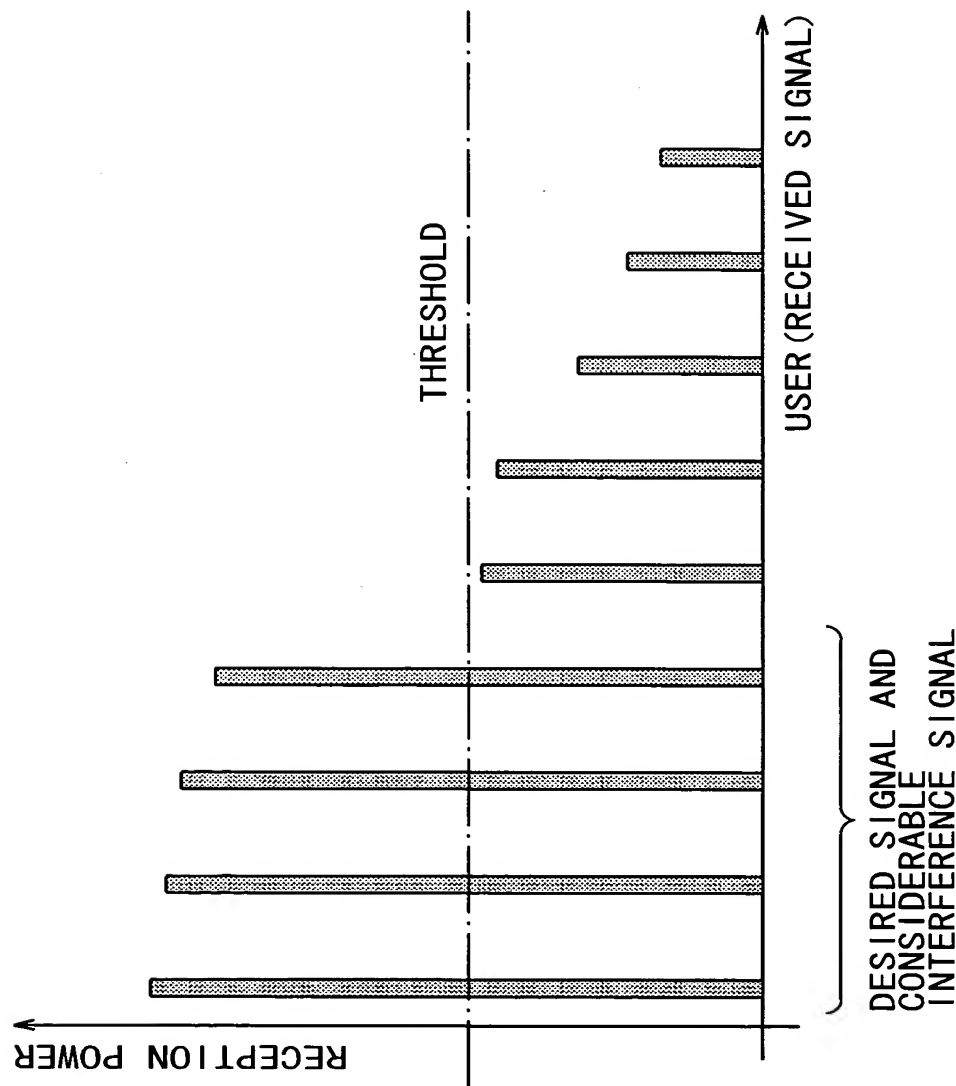
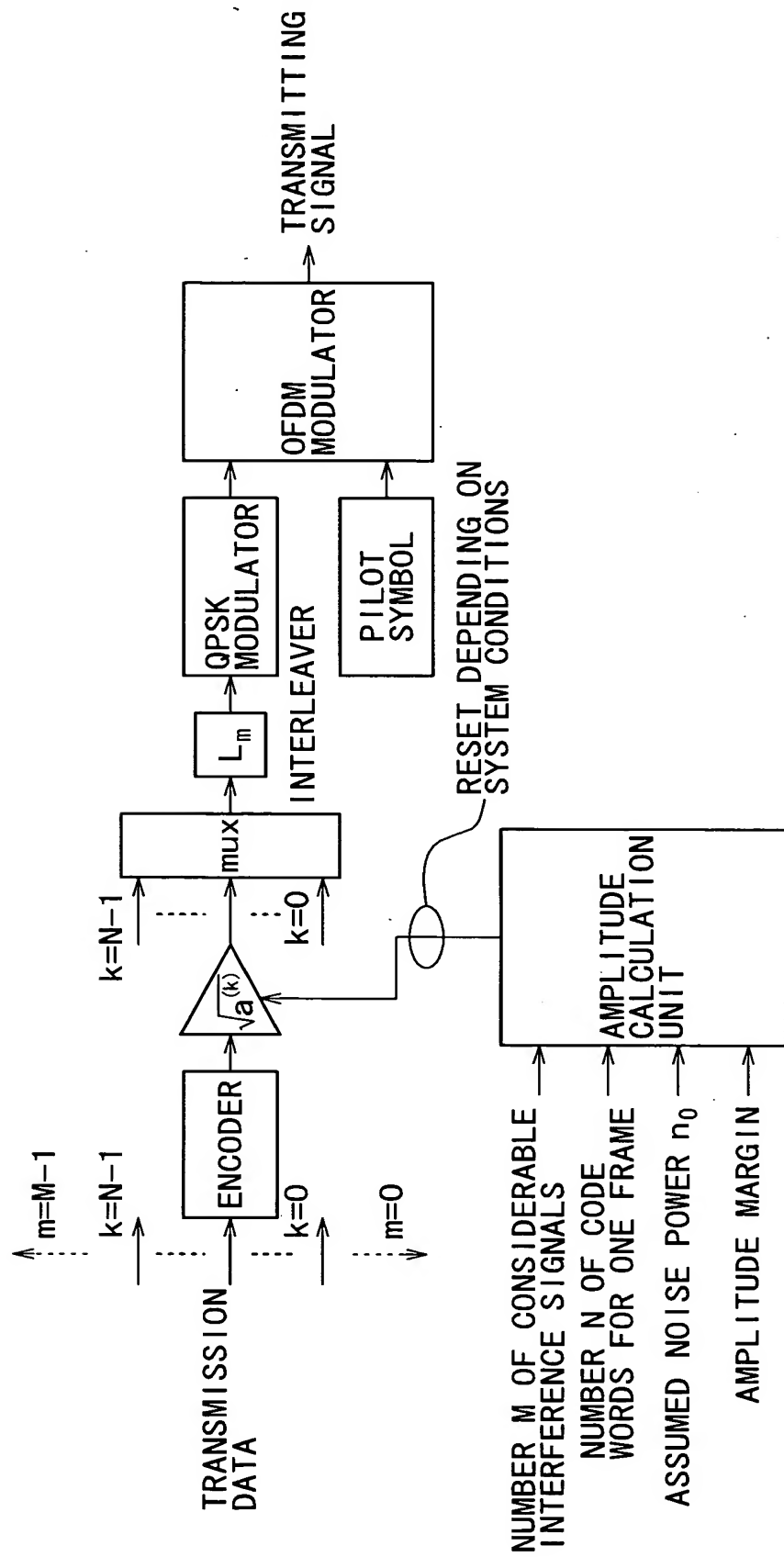


FIG. 14



F I G. 15

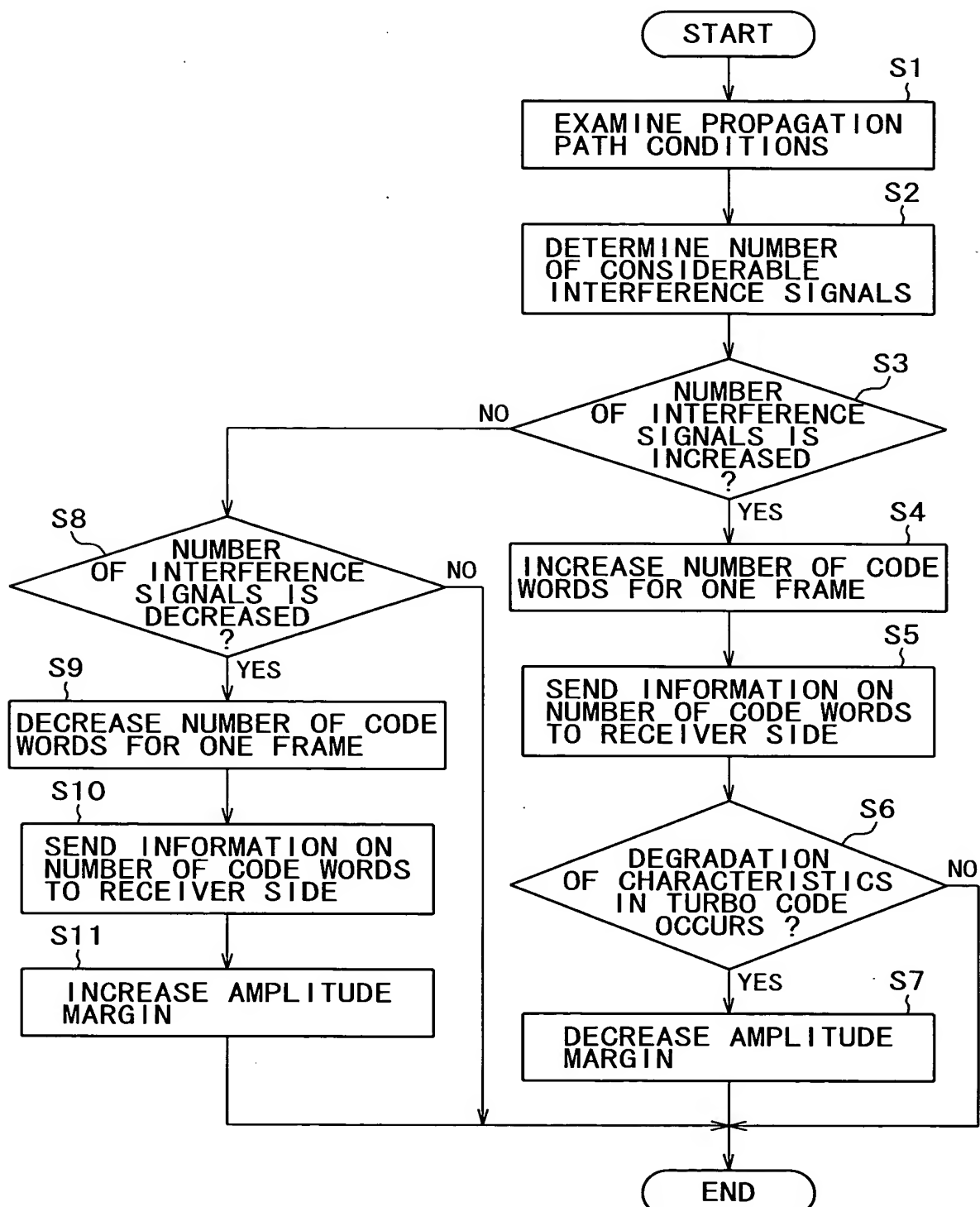


FIG. 16

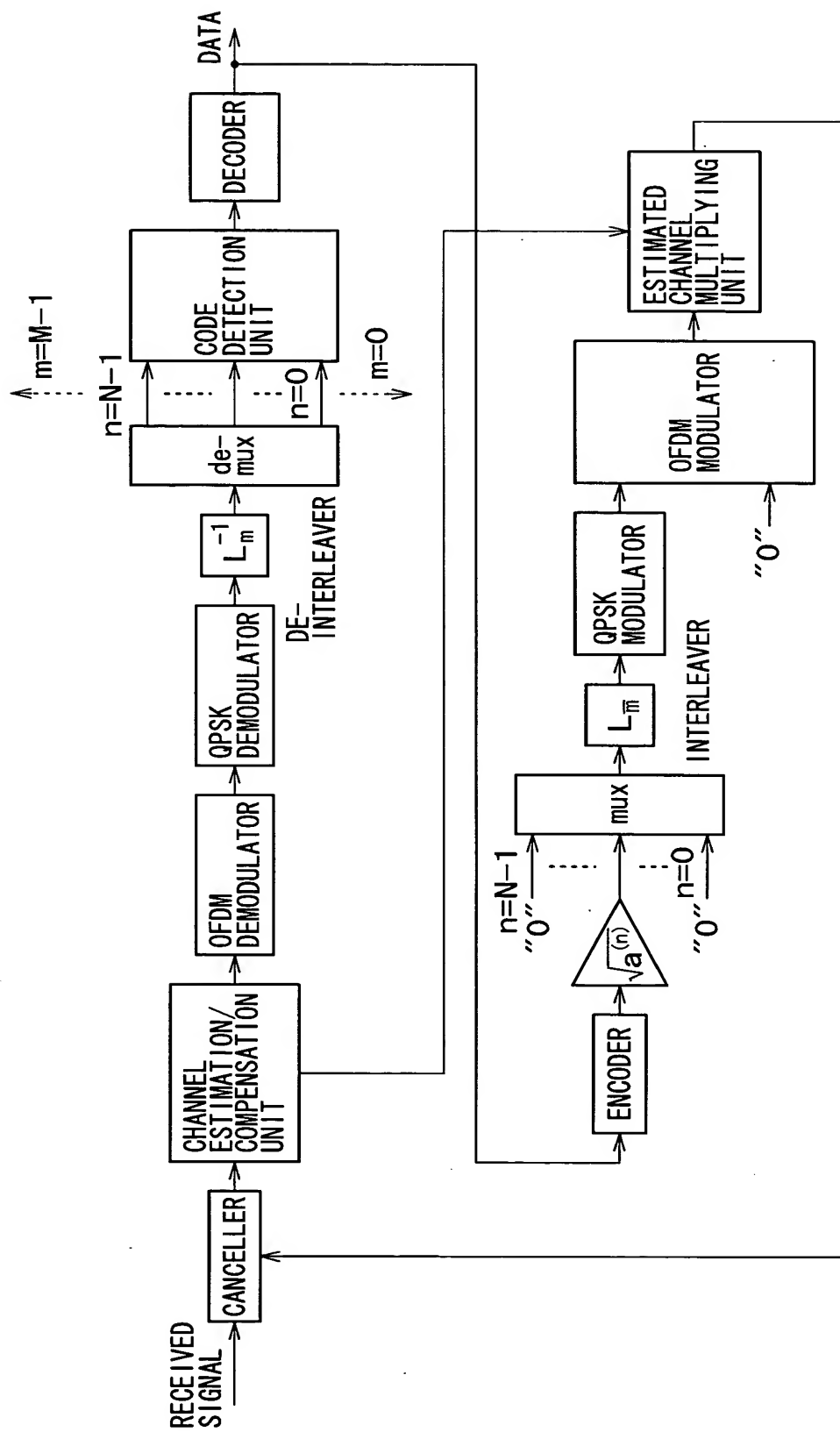
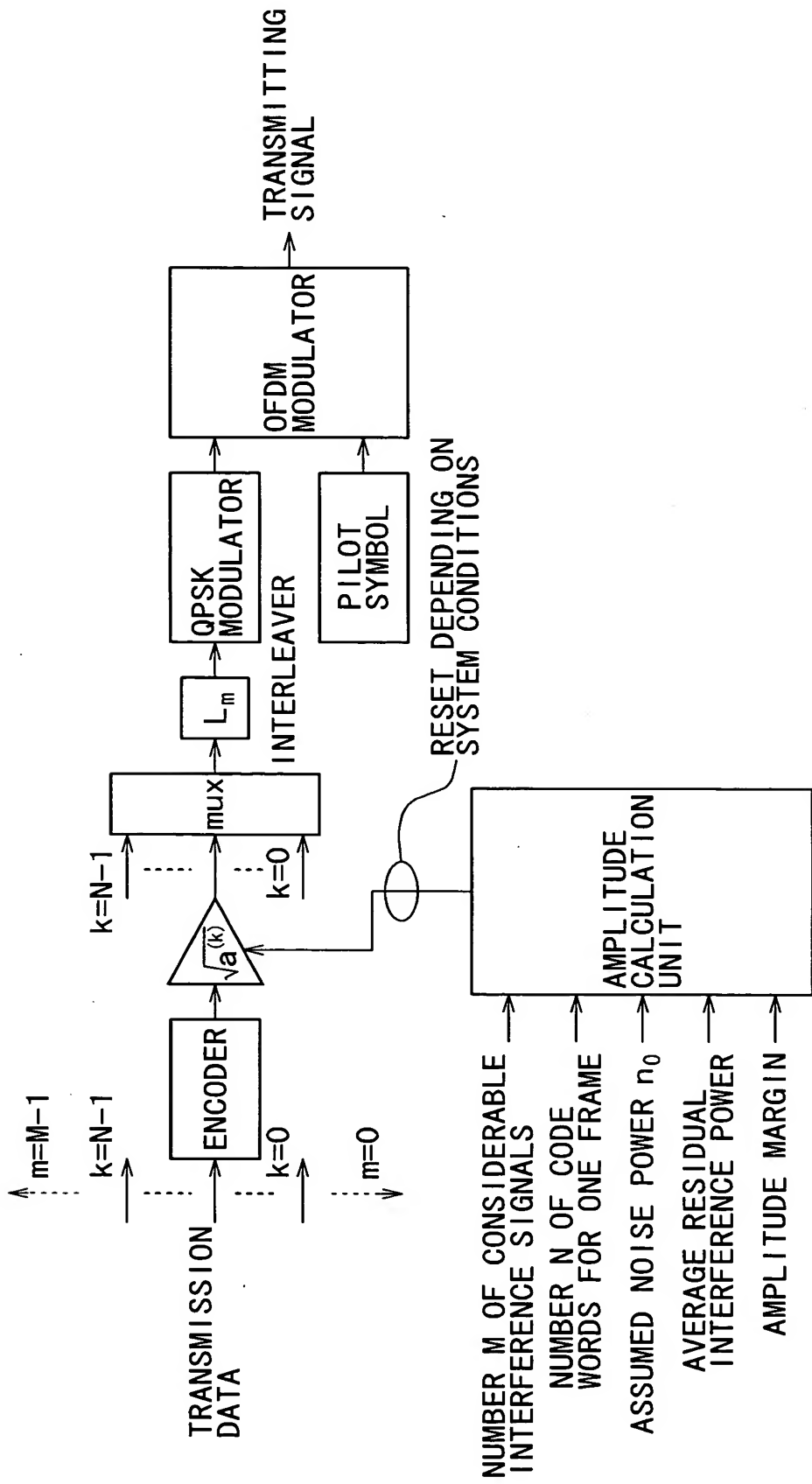
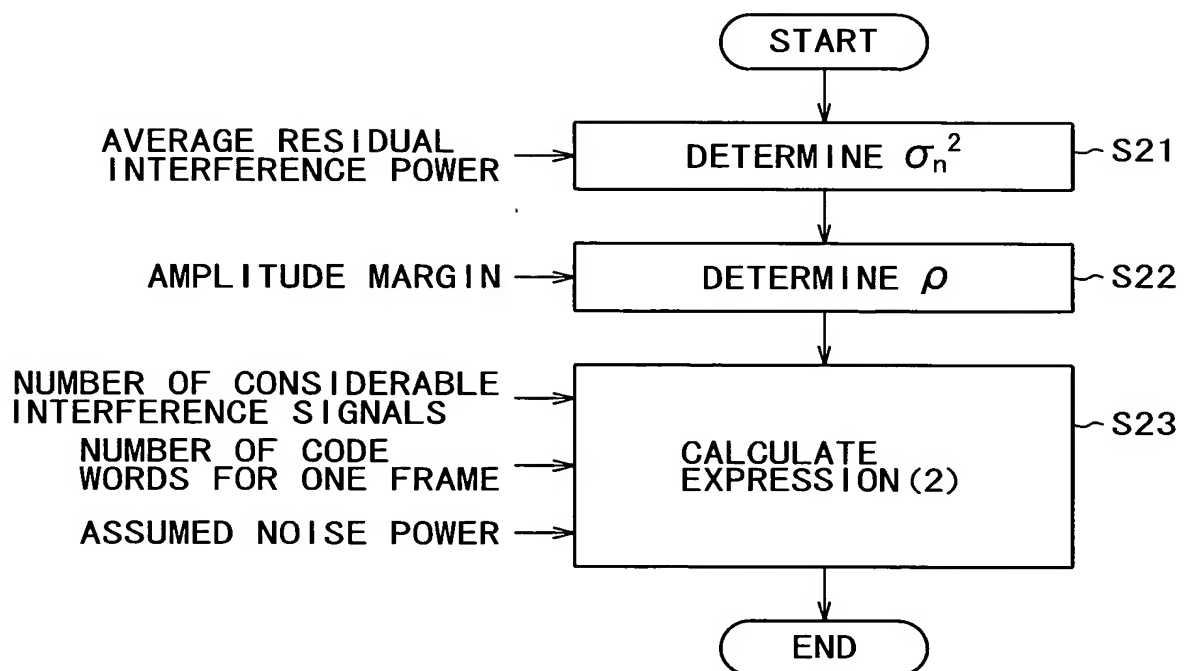


FIG. 17



F I G. 18



F I G. 1 9

